

EKSPERİMENTAL TRANSKAROTİD MİKROVENÖZ KÖPRÜ ANASTOMOZLarda TOMBORGENESİS VE ODAKLARI

Klinik, Anjiografik ve SEM bulguları

Dr. İsmail Hakkı AYDIN (x)
Dr. Hans George IMHOF (xx)

ÖZET:

Bu çalışmamızda mikroanastomozlarda gelişebilen tromboz problemine ışık tutmak amacıyla transkarotid mikrovenöz köprü anastomozlarda trombus oluşumu ve odakları 12 sığında araştırmaya tabi tutuldu. Sığanların sağ external jugular venleri kullanılarak iki end-to-side mikroanastomoz ile interkarotid by-pass yapıldı. Belli zaman aralıklarından sonra sığanların anastomozları, operasyon mikroskopu altında klinik olarak değerlendirildi. Daha sonra anjiografik incelemeye tabi tutulan denekler sakrifiye edilerek, anastomoz rezeke edilip scanning electron microscop (SEM) altında incelendiler.

GİRİŞ VE AMAÇ

Obstrüktif serebrovasküler lezyonlarda, Yaşargil ve arkadaşlarının mikroarteriyel rekonstrüktif nöroşirurjikal yöntemleri tanımlamalarından sonra, çeşitli araştırmacılarca değişik metodlar geliştirilmiş olmasına rağmen, halen klasikleşmiş bir yöntem bulunmamaktadır. (6,19,22). Günümüzde, extrakranial-Intrakranial by-pass ameliyatları popüler ise de graft rombosu önemli bir problem olarak karşımızda durmaktadır (1,9,12,17,19,20). Bu sahada bır çok çalışmalar yapılmıştır. Biz de bu probleme ışık tutmak amacıyla, değişik bir mikrovasküler anastomoz modeli geliştirerek, trombogenezis ve trombus odaklarını incelemeyi uygun bulduk. Zira modelimizde her iki karotis arterinden grefte kan gelmekte ve staz oluşturmaktadır. Ayrıca iki taraftan yapılan mikrovenö-arteriyel-end-to-side anastomoz cerrahi travmayı artırmaktadır. Bütün bunlar, tromboz riskini yükseltmektedirler.

(x) Ata. Üni. Tıp Fak. Nöroşirürji Anabilim Dalı Öğretim Görevlisi.

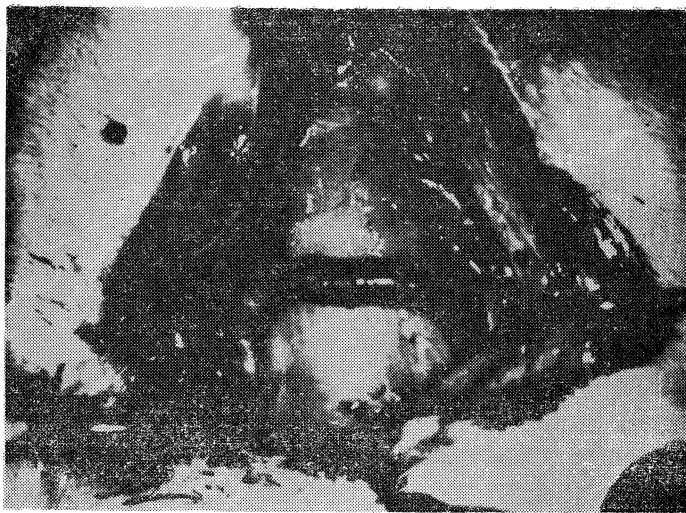
(xx) İsviçre-Zürih Üniversitesi Nöroşirürji Kliniği Baş Asistanı.

MATERİYAL VE METOD:

Zürih Üniversitesi Nöroşirürji Kliniği Mikroşirürji Araştırma Laboratuvarında gerçekleştirilen bu araştırmamız, ortalama ağırlıkları 350 gr. olan 12 adet erkek ZBZcara sıçanı üzerinde yapılmıştır. Bu sıçanlar, 1 ml sinde 0,4 mg Fentanly ve 20 mg Droperidol bulunan Innovar-Vet (Cilag AG Schaffhausen-Switzerland) den 0,1-0,2 ml/100 g dozunda intramusküler verilerek uyutuldu. İdame çok küçük dozlar kullanılarak sağlandı. Denekler, standart sıçan ameliyat tahtasına supin pozisyonda yatırılarak klasik şekilde, kuyruk, kol, bacak ve dişlerden tesbit edildi. Boynun ön kısmı traş edildikten sonra, klavikula seviyesinde, her iki sternocleidomastoid adalelerine uzanan transvers bir servikal cild ensizyonu yapıldı. Mikroşirürjiyal teknik ile ortalama 1,1 mm, çapında olan sağ external jugular ven, çevre dokulardan diseke edilerek, adventisiyası temizlendi. Dalları koterize edilip kesilerek 15 mm uzunluğunda bir serbest ven grefti elde edildi. 50 ü/ml oranında Liquemin (F. Hoffman-La Roche et Cie, S.A. Bale, Switzerland) ihtiva eden irrigasyon serumu ile içerişi yıkandı ve serum fizyolojik solusyonu içine atıldı.

Daha sonra sağ karotis arteri, çevresindeki damar ve sinirler zedelenmeden, çıkış noktasında, bifurkasyon seviyesine kadar çevre dokulardan diseke edildi ve adventisiyası temizlendi. İki temporar klip arasına alınan arterin tam orta medial kısmına, daha önce aynı sıçandan elde edilen ven greftinin distal ağzı dik açı ile and-to-side şekilde anastomoz yapıldı. Bu anastomoza I nolu odak adı verildi. Sıçanın sol karotisi-de, aynı şekilde-diseksedilerek ven greftinin proksimal ucuna dik açı ile end-to-side anastomoz yapıldı. Buraya 2 nolu odak ve ven-greftinin tam orta kısmına da 3 nolu odak adı verildi. Böylece transkarotid mikroarterio-venöz by-pass tamamlanmış oldu. Mikroanastomozlar 10-0 nylon ipekle, her birine 12-16 sütür atılarak gerçekleştirildi (Resim 1).

Transkaratoid ven by-pass'ı yapılan bu 12 sıçan, anastomoz bitiminden hemen sonra, 10 uncu dakikada, 30 uncu dakikada, 1inci saatte, 4 üçüncü saatte ve 24üncü saatlerde olmak üzere 6 farklı zaman süreci ikişer ikişer incelemeye tabi tutuldular. 24 saat süre sonu için incelemeye alınan hayvanların ven greftlerini, çevre doku kompresyonundan korumak için, anastomoz işlemi bitiminden sonra submandibular tükürük glandları rezeke edilmiş ve daha sonra cild dikişleri ile kapatılmıştır. Zaman süreçleri boyunca takip edilen hayvanların anastomozları, interval sonunda ameliyat mikroskopu altında klinik olarak incelendi. Anastomozların açıklık testi, itibarı ile fonksiyonları, var olan bir trombus yerinden oynatarak özellikle SEM incelemelerini etkileyebileceği düşünücsesi ile, kasik O'Brien-Hayhurst açıklık testi ile (10) değerlendirilmeyip, sadece ven greftindeki pulsasyon durumuna bakılıp fonksiyon tayini yapıldı. Trombusun yeri ve miktarı, yüksek magnifikasiyonlu (X 40) ameliyat mikroskopu altında, trombusun greft duvarında yaptığı renk değişikliği ve boyutlar ile tesbit edildi. Daha sonra, hayvanların karınları açılarak, aort renal arterin çıkış yerinin hemen distalinden kateterize edildi. Kateter arcus



Resim 1

aorta seviyesine kadar itilip tesbit edildi. % 60 lik Urografin'den (Schering AG Berlin-Merkamen, W. Germany) 1-2 ml kateterden verilerek anjiografi yapıldı. Anjiografik olarak, anastomoz ve grefstlerin açılığı araştırıldı. Sol external jugular ven insize edilip kanın dışarı akması sağlandıktan sonra, sıçanların kalbine bir miktar anestetik madde enjekte edilerek öldürüldüler vekateter yolu ile 80 ml Ringer laktat solusyonu perfüze edildi Bu işlemden sonra, anastomoz yerleri ve -ven grefsti anblock halinde çıkartılıp % 0.5'lik Gluter aldehyde çözeltisi içine atıldı Alınan parçalar, gerekli teknik işlemlerin tamamlanmasından sonra SEM altında incelendiler. (jeol-scanning Microscope JSM-25 s; jeol, Peabody Massachussets. Zaman darlığı sebebi ile ilk ikideneğe anjiografi yapılmamıştır. Çünkü bu sıçanlar, anastomoz bitiminden sonra hemen hiç zaman geçmeden incelemeye tabi tutulmuşlardır.

BULGULARIMIZ:

Klinik ve Anigrafik Bulgular:

Çalışmamızdaki klinik ve anjiografik sonuçları' oluşan trombüslerin yer, derece ve tipleri şu şekilde dağılım gösteriyordu (Tablo I).

Tablodan da anlaşılabileceği gibi, ilk iki deneğe anjiografi yapılmamış, diğerlerinin tümüne anjiografi yapılmıştır. Anjiografi yapılan sıçanların tümünde vizüalizasyon sağlanmış ve bunların 3 ünde, anjiografik olarak greft tromboze idi. Resim 2.

Tablo I:

Rat-No.	Zaman Dilimi	I. Odak	2. Odak	3. Odak	Kln.	Fonk %	Anjio	Sonuç
1	Hemen	—	—	—	100			Yapılmadı
2	"	—	—	X(f)	80			"
3	10.dk.	—	X(k)	—	80			Açık
4	"	—	—	X(k)	60			"
5	30.-dk.	X(k)	X(k)	X(f)	50			"
6	"	—	X(k)	XXX(f)	0			Kapalı
7	I saat	—	XX(f)	XX(k)	40			"
8	"	XX(k)	—	X(k)	70			Açık
9	4 saat	—	—	XX(k)	60			"
10	"	—	—	X(f)	90			"
11	24 saat	X(f)	X(f)	XXX(k)	0			Kapaklı
12	"	X(f)	X(f)	XX(k)	80			Açık

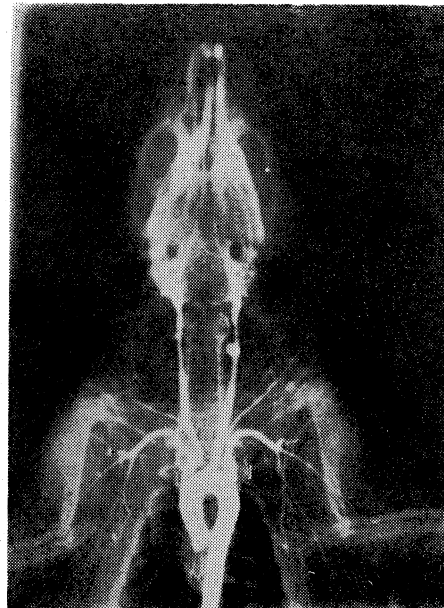
X : Hafif derecede trombüs

XX : Orta derecede trombüs

XXX : Ağır derecede trombüs

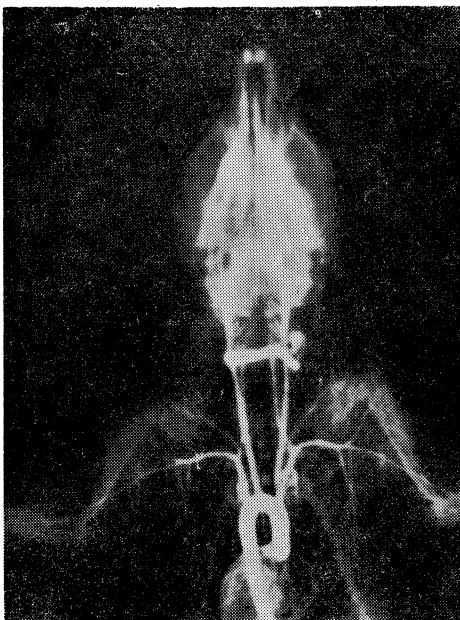
k : Kırmızı trombüs

f : Fibrinoid trombüs



Resim 2

Digerlerinde ise, greftler fonksiyona idiler. Resim 3.



Resim 3

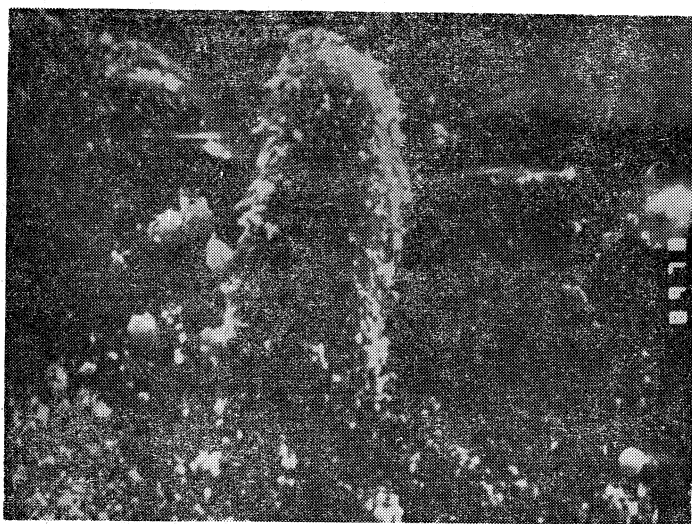
SEM Bulguları:

Anastomoz bitiminden hemen sonra SEM incelemesine tabi tutulan bir deneğin grefti tamamen açık olup sadece sütür hatlarında nadir eritrosit takıntıları görülmüyordu. Diğerinde ise; 3 nolu odakta fibrin, trombosit lökosit ve eritrosit kümelerinde oluşan bir trombüsutormuş, ancak kan akımına müsaitti. Ayrıca sütür hatlarında hasarlı epitel kısımları seçiliyordu.

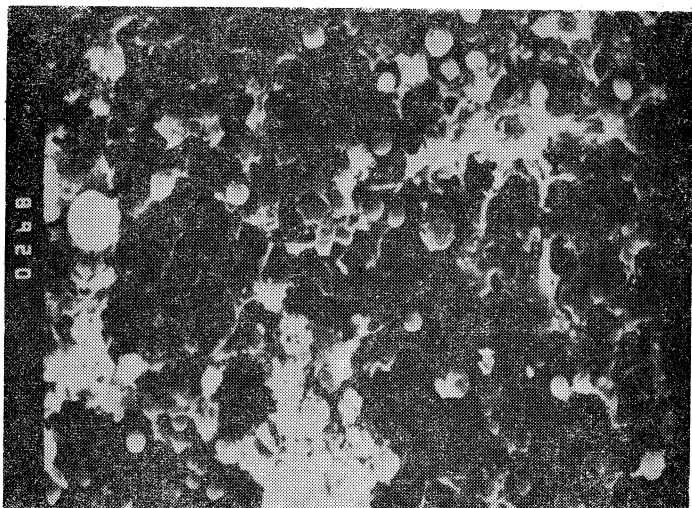
10 uncu dakikada incelenen deneklerin greftlerinin birinde 2inci diğerinde 3 üncü üncü odaklarda eritrositten zengin bir trombü mevcuttu. Her ikisinin de I ve 2 nolu odaklarındaki sütür hatları ve hasarlı epitel kısımları fibrin ağrı, trombosit ve eritrositlerce örtülmüştü. Arteriyel ve venöz endotelin zedelenmesi, iğne ve klemp gibi mikroşırıjikal aletlerin yaptığı travma veya anastomoz uçlarının fazla cekichtetilmesine bağlı idi. Bu travmanın bir kanıtı olarak, endotelde krater veblep formasyonları tesbit edildi. Her iki denekte de greftler kan akımına müsaitti.

30 uncu dakika sonunda inceленen greftlerin birin de, I ve 2inci odaklarda nadir trombositler ve bir kaç eritrosit görülmüyordu. Resim 4. 3 nolu odakta, eritrosit kümeleri tesbit edildi. Tüm odaklarda tek tek lökositler mevcuttu. Anastomoz hatlarında arter ve ven endoteli birbirinden farklılıklar gösteriyordu. Diğer sıçanda ise, 3 nolu odak fibrin ağırlıklı mural bir trombü ile tamamen tıkalı idi. Bu

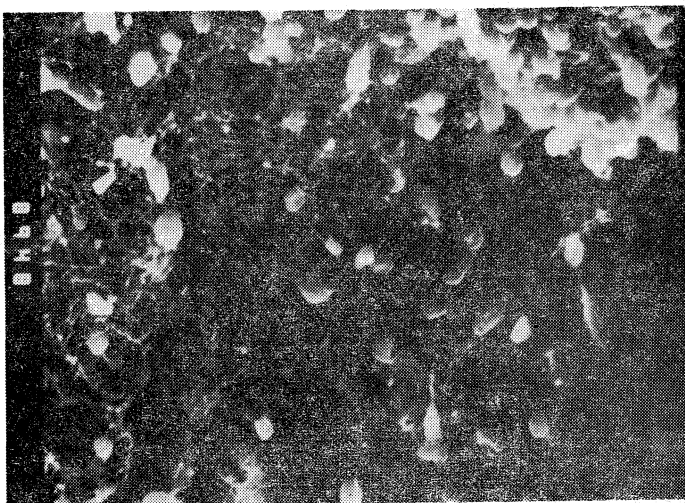
mural trombüsün üzerinde, bir kaçeritrosit, trombosit ve nadir lokositler yerleşim gösteriyordu. Resim 5 ve 6.



Resim 4



Resim 5



Resim 6

1 saat sonra sakrifiye edilen sıçanların greflerinin birinde, 2 nolu odakta fibrin ağırlığı, 3 nolu odakta ise, eritrosit ağırlıklı mural trombüslere mevcuttu. Diğerinde ise, 1 nolu odakta eritrosit kümeleri, 3 nolu odakta ise eritrosit, trombosit ve nadir lokosit yoğunluğu vardı. Anastomoz hatları, sütürlerin üzeri ve sütür delikleri yer yer trombosit ve fibrinden müteşekkil ince bir membran ile kaplı idi.

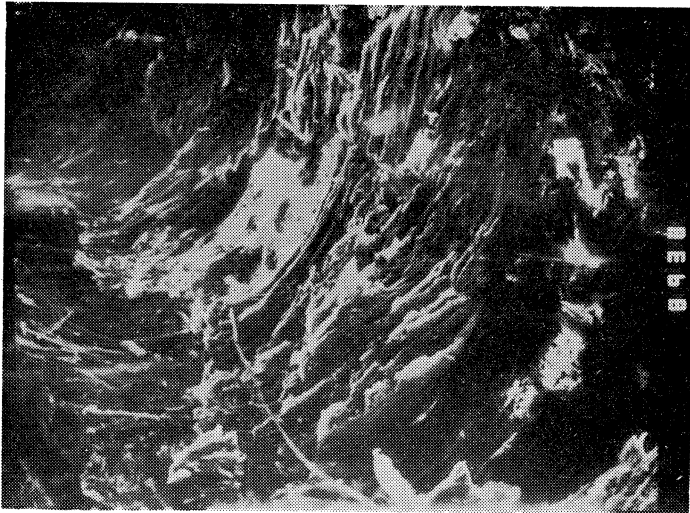
4 saatlik interval sonunda, her iki denekte 1 ve 2 nolu odaklar tamamen açık olup, bu anastomoz yerlerinde tek tük eritrositler görülmüyordu. Anastomoz hatları ince, bir membran ile örtülüyordu. Ancak, 3 nolu odaklarda ise, eritrosit kümeleri ve bu kümelerin üzerinde fibrin, trombosit ve tek tük lokosit bulunuyordu.

24 saat sonra incelenen bir grefin lümeni mural trombüslere dolu olup (Resim 7), trombüsun dansitesi 3 nolu odakta artış gösteriyordu.

Ancak anastomozların arteriyel tarafları tamamen açık olup kan akımına müsaitti. Diğer sıçanda ise, her üç odakta da trombüslere karşı gref fonksiyonu idi. 1 ve 2 nolu odaklarda fibrin yoğunluğu, eritrosit, trombosit serpintileri görülmüyordu. 3 nolu odakta trombosit kümeleri ve nadir lokositler göze çarpıyordu. Sütür hatlarında ve hasarlı endothel kısımlarda neoendotelizasyon olduğu tespit edildi.

TARTIŞMA

İlk olarak ven grefi transplantasyonlarını 1905 yılında gerçekleştiren Dr. A. Carrel'in, nazik davranışarak damarların birbirine düzgün bir şekilde yaklaşırılması, damar uçlarının kuru tutulmaması ve devamlı nemli tutulmasının esas olduğunu 1907 yılında belirtmesi gerçekten çok ilginçtir. (4)



Resim 7

Khodadad (11), Maroon ve Donaghy (15) otojen ven greftlerini ilk olarak experimental incelemelerde kullanmışlardır. 1971 de ise, bu ven greftleri, Lougheed ve arkadaşlarınınca klinikte kullanılmıştır (13). Ancak, gelişen postoperatif greft trombozu, günümüze dekin büyük bir problem olmuş, ve bu konuda bir dizi araştırmalar yapılmıştır (1,7,8,9,15,18). Anatomik özelliklerinden dolayı ven greftleri, arter greflerine oranla gerek mekanik ve gerekse hemodinamik travmalardan daha fazla etkilenirler. Ancak otojen ven greftlerinin bol bulunması, kolayca elde edilebilirliği, endotel hücrelerinin hipoksiye daha dayanıklı oluşu, arter greflerinde lokal iskemi korkusunun bulunması sebebi ile arter greflerine üstünlük taşırlar (1,3,8,9, 15,18).

Mikroanastomoz yerlerinde, mikroşirurjikal travma sonucu gelişen trombüs ve greftten geçen kan akımı, ven greftlerinin oklüzyonunda en-etkin faktörlerdendir (5,11,15-17).

Biz de çalışmamızda, klinik önemi olmayan ancak mikroşirurji eğitiminde iyibir model olan transkarotid mikrovenöz köprü anastomozlarda, öncelikle trombüsün hangi odaklarda nelere bağlı olarak oluştuğunu incelemeye çalıştık. Her ne kadar klinik ve anjiografik sonuçlar araştırmamızda birbirine paralellik gösteriyorsa da, en kesin neticeleri SEM incelemelerinde elde ettik.

Trombüs oluşumu en çok sırası ile, 3. odak, 2. ve 1. odaklarda tespit edildi. Deneklerimizin % 83.3 içinde 3. odakta çeşitli derece ve nitelikte trombüs mevcuttu. Bu muhtemelen her iki karotis arterinden gelen kan akımının greftin ortasında yavaşlama ve staza sebep olmasına bağlı idi. Nitikim greftten geçen kan debisi, hem trombosun başlamasına hem de, oluşan trombüsün büyümesine etki etmek-

tedir (1,21). Maroon ve Donaghy (15), Khodadad (11), Rosenbaum ve Sundt (20), kan akımındaki yavaşlama, girdaplaşma ve düzensizleşmenin kan elemanlarının çarpışmasına, sonuçta staz ve tromboza sebep olduğunu rapor ettiler. Araştırmamızda, greft ortasında oluşan trombüsun SEM incelemelerinde kantite itibarı ile de eritrositlerden zengin oluşu, bu fikri desteklemektedir.

2inci odaktaki trombüsun 1inci odaktakinden daha fazla oluşu, büyük bir olasılıkla travma şonucudur. Zira; greftin ikinci odağının anastomozu, esnasında birinci odağa nisbetle cerrahi güçlükler sebebi ile ve grefti rotasyona tabi tutmak gerektiği için daha fazla travma olmuştur. Bu da normalde nontrombojenik olan endotelin hasara uğramasına ve trombojenik subendotelial elemanların direkt kan elemanları ile temasla geçerek kuaglüm oluşumuna neden olmaktadır (8,9,14,20). SEM incelemelerinde fibrin ağırlıklı 2. odak trombüsi de bunu doğrulamaktadır.

İlk anastomozun mikroşirurjikal maniplasyonunun kolaylığı ve neticede damar duvarına olan travmanın minimal derecede olmasından dolayı, bu odakta en az oranda trombus tesbit edilmiştir.

Rosenbaum ve Sundt (20), mikroanastomozlardan sonra ilk 15 dakikada trombus formasyonunun maksimuma çıktığını, 30 uncu dakikada ise, eridiğini tesbit et ve Sundt (20) trombosit reaksiyonlarının 24 saatte stabil hale geldiğini bildirmiştir. Gelderman ve Berendson (8), Gertz ve arkadaşları (9) ve Rosembaum ve Sundt (20) trombosit reaksiyonlarının 24 saatte stabil hale geldiğini bildirmiştir. Bu sebeple en uzun takip süresi olarak 24 saatı aldık. Endotel hücrelerinin solunum ve metabolik aktiviteleri oldukça yüksektir. Bu sebeple, sütür hatlarının endotelizasyonu kısa sürede tamamlanmaktadır. Değişik teoriler olmakla birlikte, bir çok yazar re-endotelizasyonun travmatize bölgelerin kenarlarında kalan endotel hücrelerinden geliştiği fikrine dairler (2,8,18). Bizim SEM incelemelerimizde, endotel hücrelerinin rejeneratif aktivitelerinin bir kanıtı olan mikrovillilerin görülmesi de bu fikri desteklemektedir. Ayrıca çalışmamızda, sütür hatlarının 24inci saatte endotelize olmaya başaması, Gelderman ve Berendson (8) ve Rao ve arkadaşlarının (18) deneyimleri ile aynı parellededir.

SUMMARY

THROMBOGENESIS AND IT'S LOCATIONS IN EXPERIMENTAL MODEL OF TRANSCAROTID MICROVENOUS BRIDGE ANASTOMOSIS IN RATS

Thrombogenesis and it's locations upon the transcarotid microvenous bridge anastomosis were investigated in 12 rats. Using right external jugular vein graft, double end-to-side anastomosis were performed between the two carotid arteries. All the rats were sacrificed and clinic, angiographic and sacanning electron microscopic (SEM) investigations were performed on certain time intervals. In conclusion; increased thrombus formation is seen in the midline of the grafts.

REFERANSLAR

- 1- Bannister CM, Chapmon SA: Long-term effects of heparin on veins grafted into the common carotid arteries. A Scanning Electron Microscopic Study. *Neurol Researcrh* 1 (2): 121-131, 1979.
- 2- Bannister CM, Mundy LA, Mundy JE: Comparative merits of autogenous arterial and venous by-pass grafts as alternatives to direct arterial anastomosis. In Schmiedek P (ed): *Microsurgery for Stroke*. Springer-Verlag, New-York, Heidelberg, Berlin 1977, pp. 105-118.
- 3- Biemer, E.: Vein grafts in microvascular surgery. *Brit j Plast Surg* 30: 197-199, 1977.
- 4- Carrel, A: Results of the transplantation of blood vessels, organs and limbs. *JAMA* 14: 1662-1667, 1908.
- 5- Crowell RM, Yaşargil MG: End-to-side anastomosis of superficial temporal artery to middle cerebral artery bracnh in the dog.
- 6- Crowell RM, Yaşargil MG: Experimental microvascular autografting, *j Neurosurg* 31: 101-104, 1969.
- 7- Epstein MH: Externa carotid-middle cerebral artery bypass using free graft bypass. In Fein JM, Reichman OH (eds: *Microvascular Anastomoses for Cerebral Ischemia*. Springer-Verlag New-York, Heidelberg, Berlin 1978, pp. 178-180.
- 8- Geldermann RW, Berendson W: Re-endotelhelisation of microvascular carotid end-to-side anastomosis in the rats. A scanning electron microscopic study. *J Neurosurg* 51: 785-795, 1979.
- 9- Gertz SD, Kurgan, A: Wajnberg RS, Nelson E: Endothelial cell damage and thrombus formation following temporary arterial occlusion. Effects of tretreatment with Aspirin or Heparin. *j Neurosurg* 50: 578-586, 1979.
- 10- Hayhurst, jW, O'Brien McC: An experimental study of microvascular technique, patency rates and related factors. *Brit j Plast Surg* 28: 128-132, 1975.
- 11- Khodadad G: Extracranial intracranial by-pass grafts. *j Neurol Neurosurg and Psychiatry* 35: 522-526, 1972.
- 12- Kletter G: The Extracranial intracranial Bypass Operation for Prevention and Treatment of Stroke. Springer-Verlag Wien New-York 1979. pp. 112-128.
- 13- Lougheed WM, Marshall BM, Hunter M et al: Common carotid to Intracranial internal carotid by pass venous graft. Technical Note. *j Neurosurg* 34: 114-118, 1971.

- 14- Maffei FHA, Rollo HA, Fabris VE: Prevention of experimental venous thrombosis induced by contrast medium in the rat. *Acta Radiologica Diagnosis* 20: 249-252, 1980.
- 15- Maroon JC, Donaghay, RMP: Experimental cerebral revascularisation with autogenous grafts. *j Neurosurg* 38: 172-179, 1973.
- 16- Nishikawa M, Yaşargil MG, Yogi N, Fish U: Experimental extracranial-intracranial anastomosis. *Surg Neurol* 8: 249-253, 1977.
- 17- Rao VK, Morrison WA, Angus JA, O'Brien McC: Comparision of vascular hemodynamics in experimental models of microvascular anastomoses. *Plast and Reconst Surg* 71, 241-247, 1983.
- 18- Rao VK, Nightingale G, O'Brien McC: Scanning electron microscope study of microvenous grafts to artery. *Plast and Reconstr Surg* 71: 98-106, 1983,
- 19- Razaboni RM, Greco MA, Harper AD et al The effects of preservation on the microvascular vein grafts in rats. *j Microsurg* 3: 65-71, 1981.
- 20- Rosenbaum TJ, Sundt TM: Thrombus formation and endothelial alterations in microarterial anastomoses. *j Neusosurg* 47: 430-441, 1977.
- 21- Szylagyi DE, Whitcomb JG, Schenker W, Waipel P: The laws of fluid flow and arterial grating. *Surgery* 47 (1): 55-73, 1960.
- 22- Yaşargil MG: Experimental small vesel surgery in the dog including patching and grafting of cerebral vesels and for formation of functional extra-intracranial shunts. In Donaghay RMP, Yaşargil MG (Eds.): *Microvascular Surgery*. Sututtgart, George Thime Verlag, 1967, pp. 87-126.